

高エネルギー天体物理

浅野勝晃

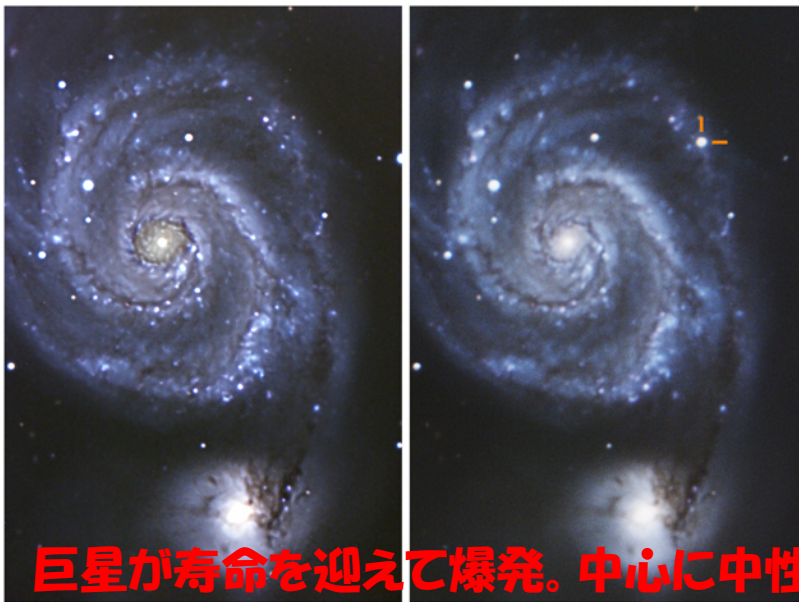
(高エネルギー天体グループ)

宇宙科学の趨勢

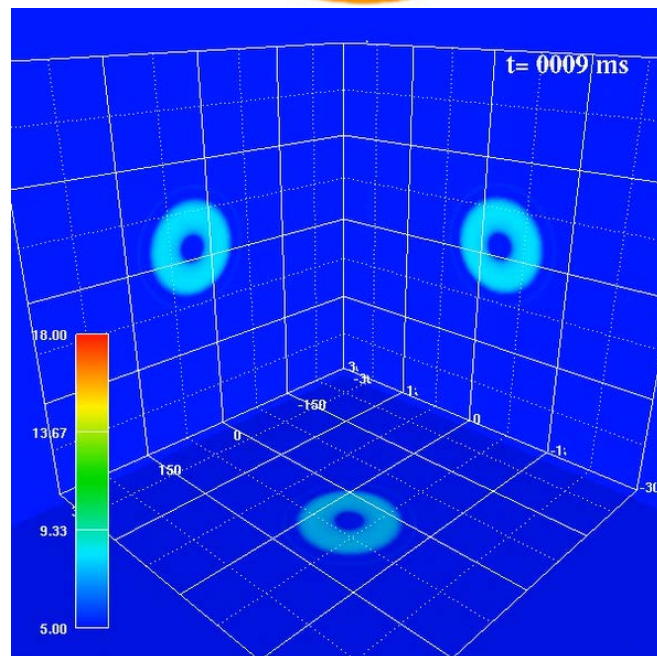
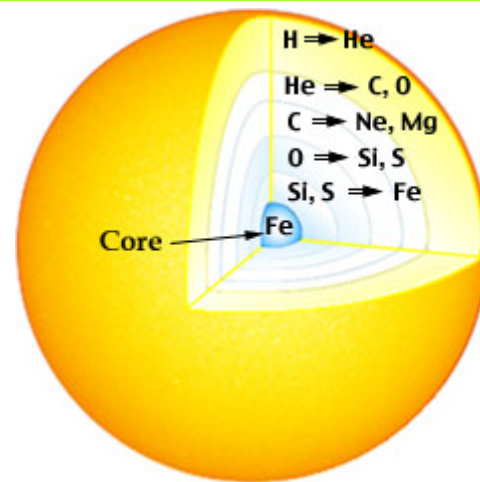
高エネルギー宇宙物理

- 最もダイナミックに発展している分野
- 宇宙線研における主要な観測対象
- 多くの謎が残されている

超新星爆発



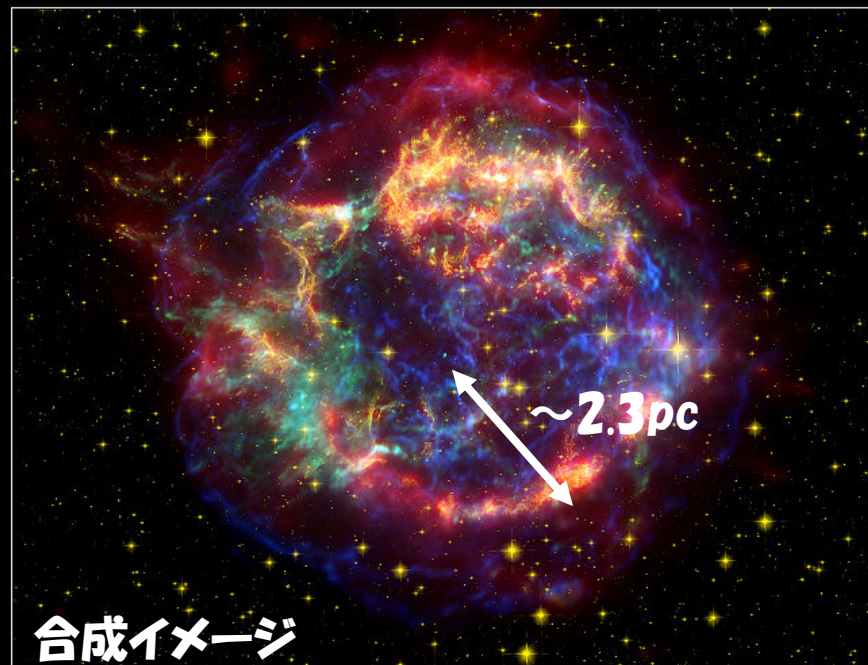
巨星が寿命を迎えて爆発。中心に中性子星を残す。



数値シミュレーションでは未だ爆発に成功していない!

超新星残骸と宇宙線生成

1667年頃に爆発したCassiopeia A



Cassiopeia A Supernova Remnant
NASA / JPL-Caltech / D. Krause (Steward Observatory)
ssc2005-14c

Spitzer Space Telescope • MIPS
Hubble Space Telescope • ACS
Chandra X-Ray Observatory

爆発による衝撃波が星間空間を伝播



衝撃波による粒子加速
高エネルギー粒子の生成

$$\varepsilon \gg m_e c^2, m_p c^2$$

距離: 3.4kpc

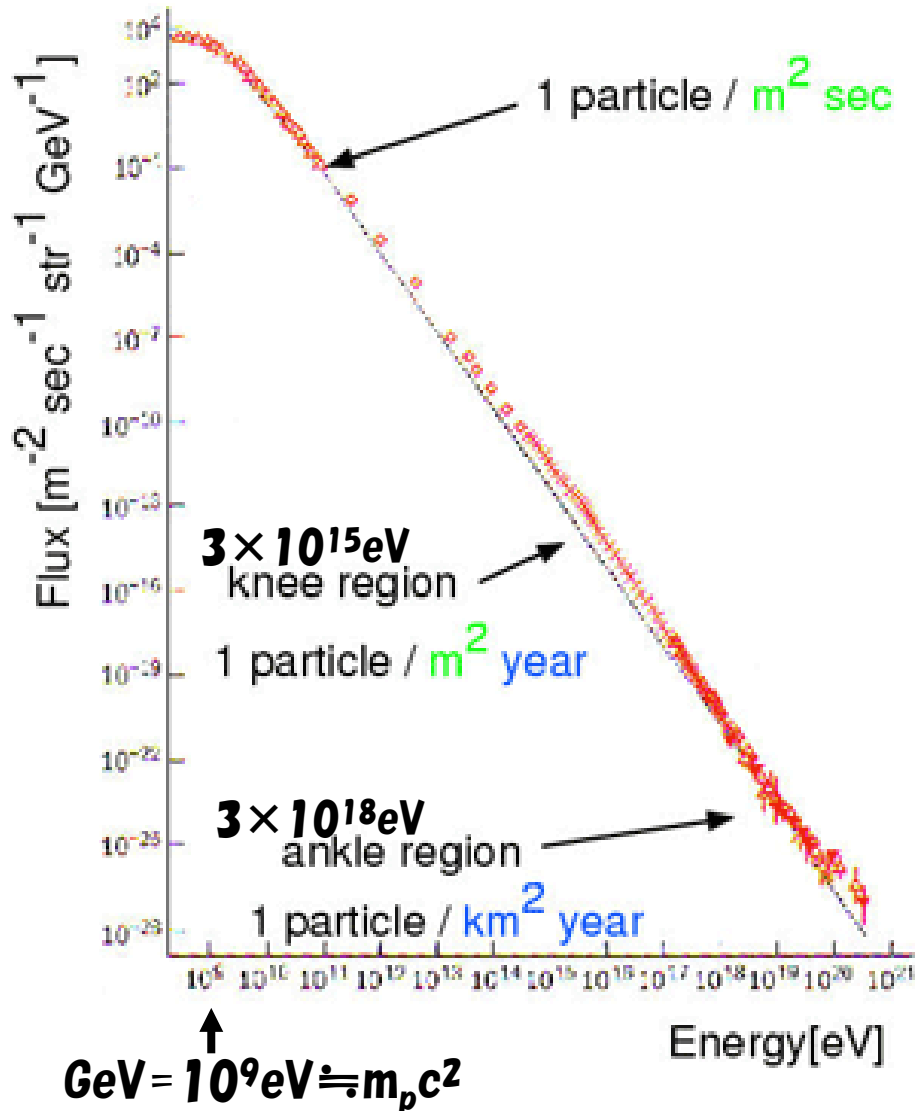
膨張速度: 4000-5000km/s

中心には中性子星が残される

超新星残骸と宇宙線生成

木: 最先端研究V「最高エネルギー宇宙線」
金: 最先端研究VI「ガンマ線・宇宙線物理」

Cosmic-Ray Spectrum

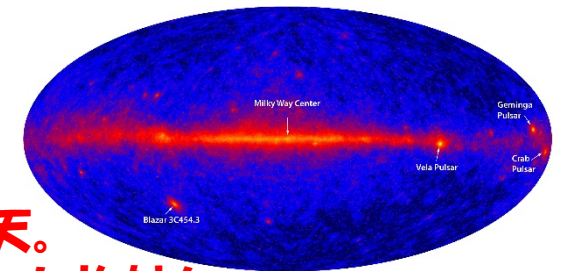


Knee以下のエネルギーの宇宙線は、
超新星残骸で加速されたと考えられている。

Kneeより上の宇宙線の起源は謎。

Ankleより上の宇宙線は銀河磁場では
閉じ込めておく事ができない。
銀河系外起源と考えられている。

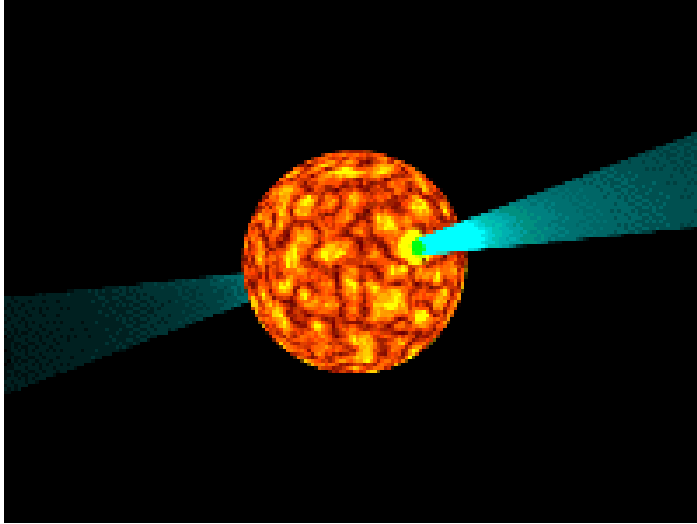
最高エネルギー宇宙線
加速天体は？



ガンマ線で見えた全天。
宇宙線起源の広がった放射も。

高エネルギー天体

パルサー



強磁場中性子星。周期 $1\text{ms}-1\text{s}$ で自転する半径 10km の高密度天体($\sim 10^{15}\text{g}/\text{cm}^3$)。規則正しいパルス放射。

典型的には 10^{12}G 。中には 10^{15}G までにも達するものもあり、マグネターと呼ばれる。QEDの効果が無視できない。

$$B_{\text{cr}} = \frac{m_e^2 c^3}{\hbar e} = 4.41 \times 10^{13} \text{ G.}$$

回転エネルギーを電子・陽電子プラズマ風として解放。パルサー星雲を作る。

パルサー星雲

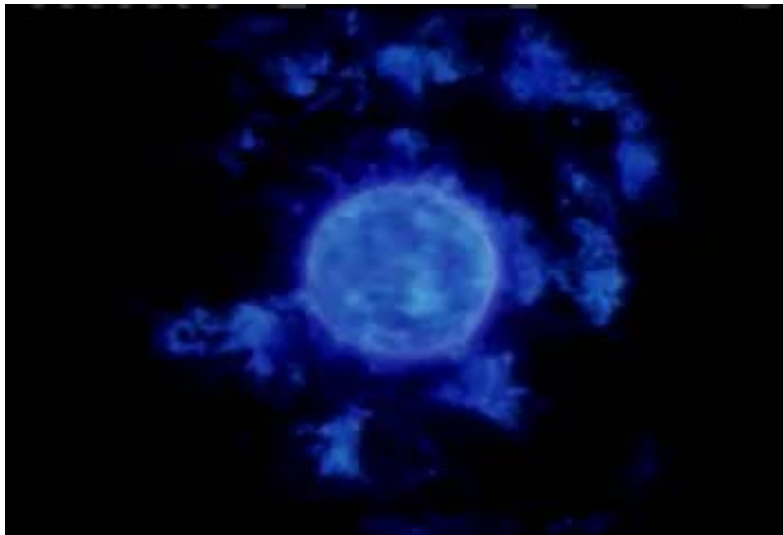


電子・陽電子プラズマがローレンツ因子 $\Gamma = 10^6$ 程度で噴き出している。

プラズマの加速機構は謎。

高エネルギー天体

ガンマ線バースト

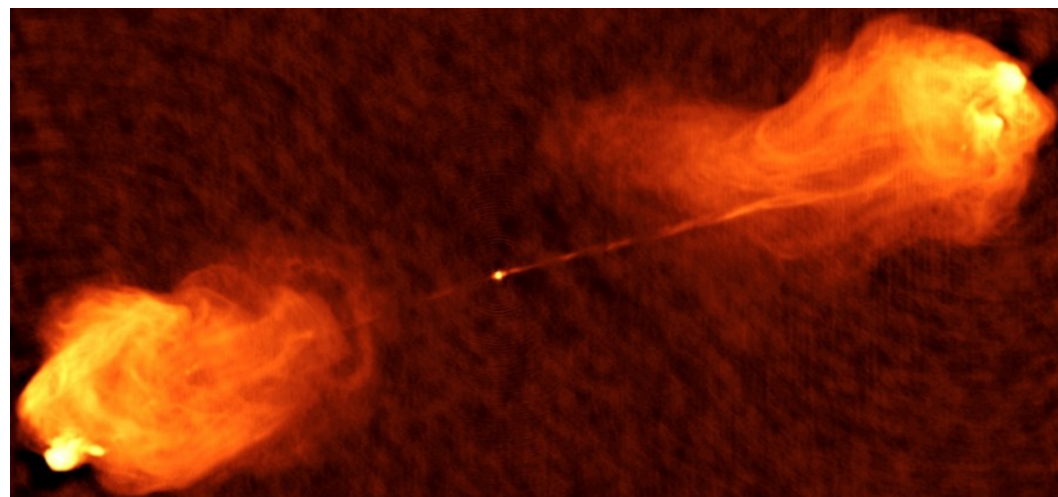


宇宙最大の爆発現象

巨星の核がブラックホールに崩壊。

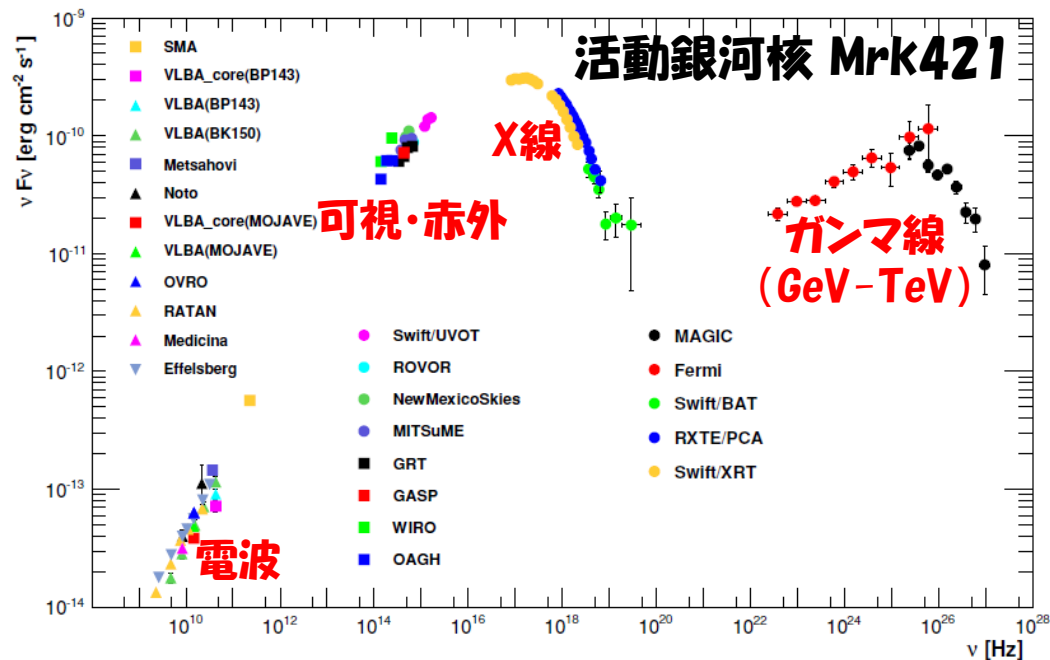
$\Gamma > 100$ の光速ジェットからガンマ線を放出。

活動銀河核ジェット

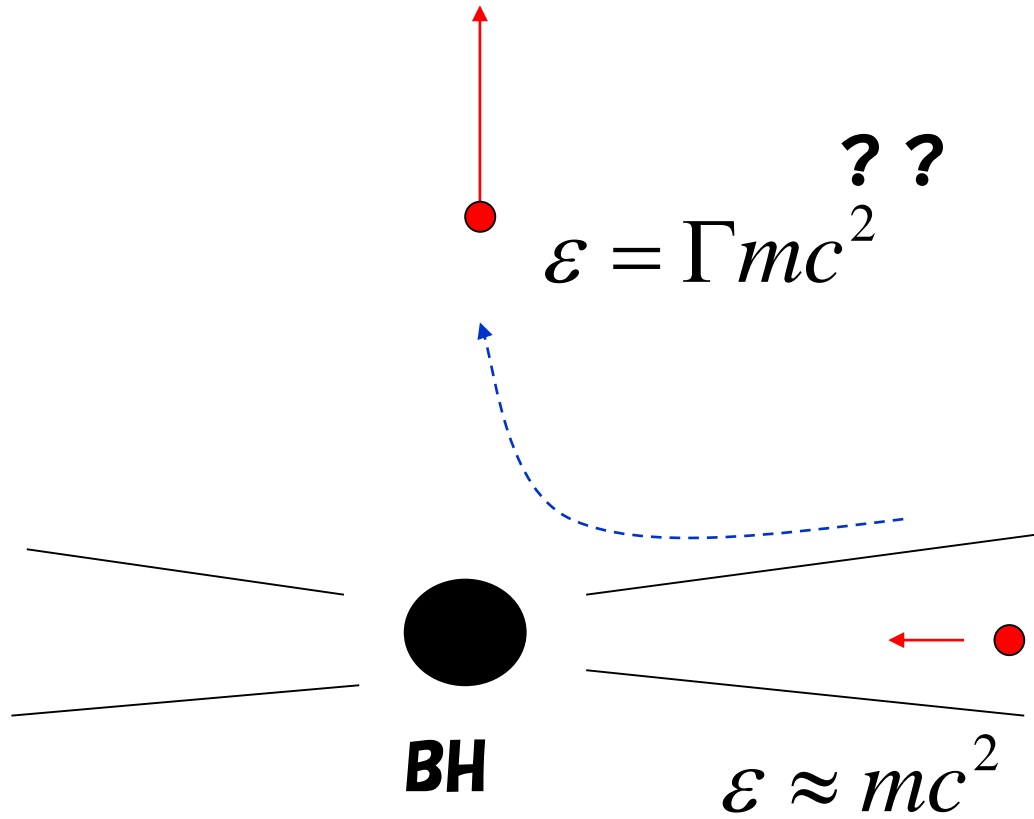


高エネルギー天体物理の目標

- 電波からX線・ガンマ線にいたる放射メカニズム
- 高エネルギーまで粒子を加速するメカニズム
- ブラックホールから噴出するジェット生成メカニズム
- 超新星爆発のメカニズム
- 10^{20} eVを超える最高エネルギー宇宙線の加速源天体
- 天体からのニュートリノや重力波の放射
- 暗黒物質探査



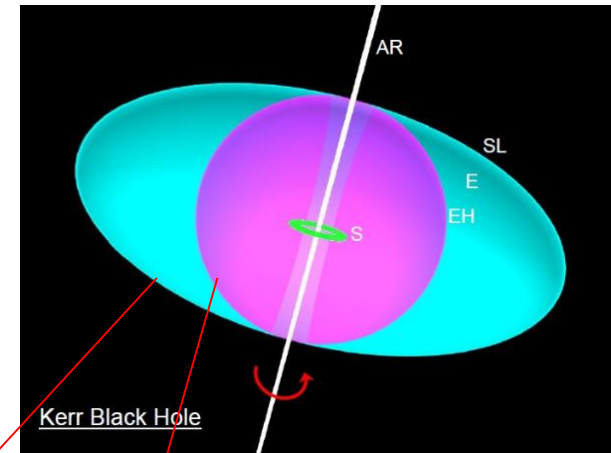
ジェットの加速



エネルギー源は...

降着円盤の重力エネルギー
1粒子あたり $\sim GM/r_g$

あるいはBHの回転エネルギー
(磁場を介して引抜き可)



- 多数の粒子が解放した重力エネルギー(熱・輻射・磁場)を少数の粒子に配分
- BHそのものからエネルギーを引き抜く

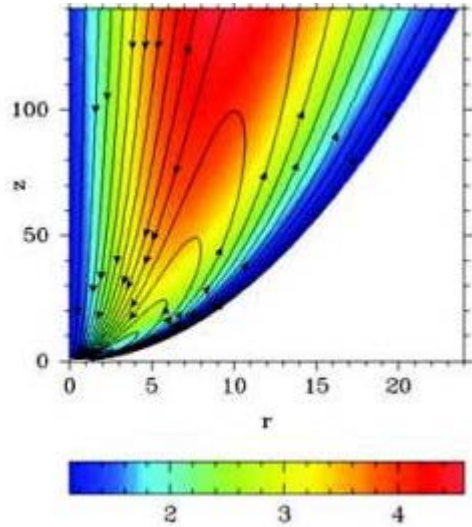
$$ds^2 = \left(1 - \frac{r_g r}{\Sigma}\right) c^2 dt^2 - \frac{\Sigma}{\Delta} dr^2 - \left(\frac{r_g r}{\Sigma} a^2 \sin^2 \theta + r^2 + a^2\right) \sin^2 \theta d\varphi^2 - \Sigma d\theta^2$$

$$= 0 \quad = \infty \quad + 2 \frac{r_g r}{\Sigma} a \sin^2 \theta c dt d\varphi,$$

$$\Sigma = r^2 + a^2 \cos^2 \theta, \quad \Delta = r^2 + a^2 - r_g r, \quad r_g = 2GM/c^2$$

磁場によるジェット駆動

ローレンツ因子と電流



相対論的理想磁気流体力学 $E = -\frac{1}{c} \mathbf{v} \times \mathbf{B}$

質量保存 $\frac{\partial}{\partial t}(\Gamma\rho) + \nabla \cdot (\Gamma\rho\mathbf{v}) = 0$

エネルギー保存 $\frac{\partial}{\partial t} \left[(e+P)\Gamma^2 - P + \frac{1}{8\pi}(B^2 + E^2) \right] + \nabla \cdot \left[(e+P)\Gamma^2\mathbf{v} + \frac{c}{4\pi} \mathbf{E} \times \mathbf{B} \right] = 0$

運動量保存 $\frac{\partial}{\partial t} \left[(e+P)\Gamma^2\mathbf{v} + \frac{c}{4\pi} \mathbf{E} \times \mathbf{B} \right] + \nabla \cdot \left[(e+P)\Gamma^2\mathbf{v} \otimes \mathbf{v} - \frac{c^2}{4\pi} (\mathbf{E} \otimes \mathbf{E} + \mathbf{B} \otimes \mathbf{B}) \right] + \nabla \left[Pc^2 + \frac{c^2}{8\pi} (B^2 + E^2) \right] = 0$

誘導方程式 $\frac{\partial \mathbf{B}}{\partial t} - \nabla \times (\mathbf{v} \times \mathbf{B}) = 0$

しかし、活動銀河核ジェットからの放射を基に、磁場の値を見積もると、磁場のエネルギーはジェットのエネルギー全体のほんの一部であることがわかっている。

輻射によるジェット駆動

ガス密度が濃ければ、輻射はトムソン散乱を通じて、ガスと一体化する。輻射優勢一流体 = 火の玉

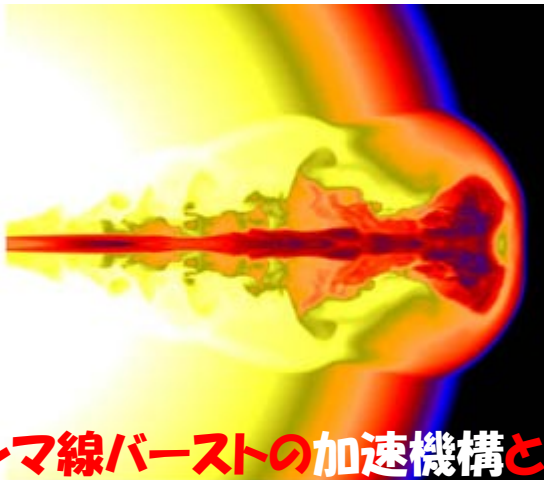
輻射のエネルギー密度が支配的なら、

$$P = \frac{1}{3}e$$

$$\Gamma \propto r, n \propto r^{-3}, e \propto r^{-4}$$

確実に加速する。
⇒ 火の玉モデル

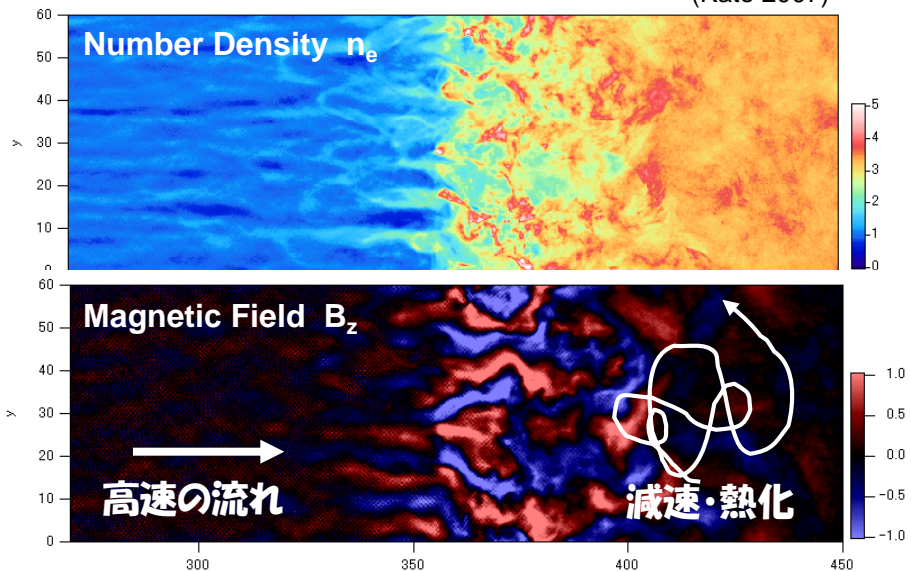
活動銀河核ジェットでは、密度が薄すぎ、火の玉を形成するのは困難。



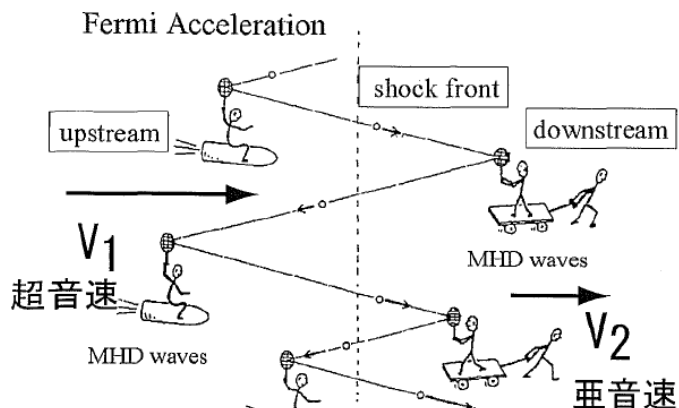
ガンマ線バーストの加速機構として有望

衝撃波による粒子加速

(Kato 2007)

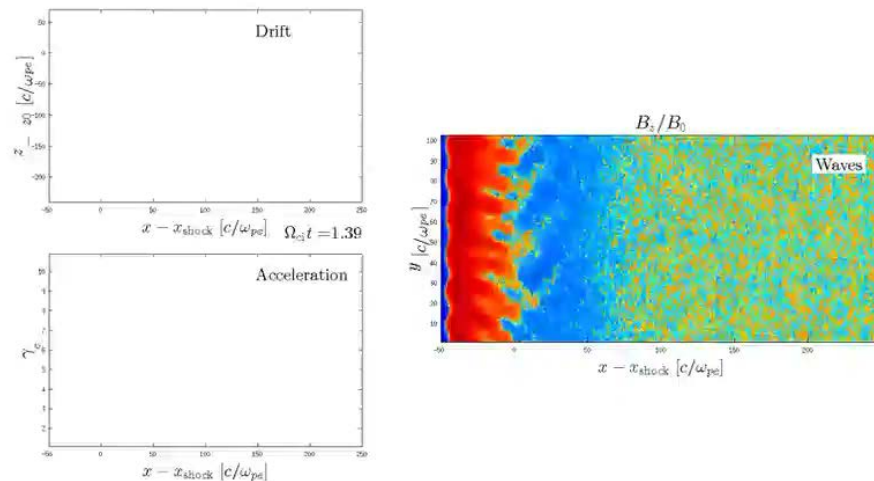


↑
衝撃波面



相対速度を持つ二流体間で粒子が往復することで、エネルギーを得る。

シミュレーション



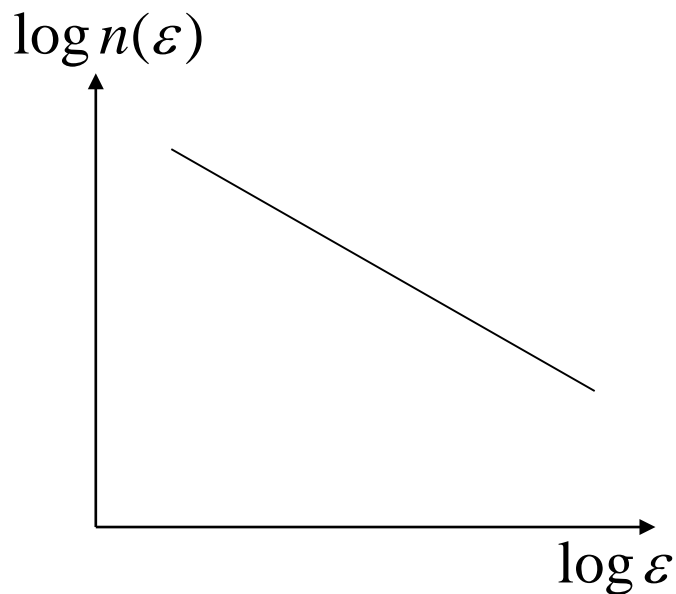
一回往復する毎に得るエネルギー $\frac{\Delta \varepsilon}{\varepsilon} \approx \frac{4}{3} \frac{v_{rel}}{c}$

$$\varepsilon \approx \varepsilon_0 \exp\left(n \frac{4}{3} \frac{v_{rel}}{c}\right)$$

もう一度往復する確率 $1 - 4 \frac{v_d}{c}$

$P(> n) \approx \exp\left(-4n \frac{v_d}{c}\right) \propto \varepsilon^{-3v_d/v_{rel}}$ **べき分布**

衝撃波による粒子加速



Non-thermal particles

典型的には $n(\varepsilon) \propto \varepsilon^{-2}$

観測的にベキ指数は様々な値を取りえるが、その理由は不明。

加速される粒子の割合(数・エネルギー)を決める物理も不明。

(長時間の大規模simulationが必要)

電子と陽子の比は $\sim 1:100$

加速可能な最大エネルギーは？

加速領域のサイズか、拮抗する放射冷却で決まる？

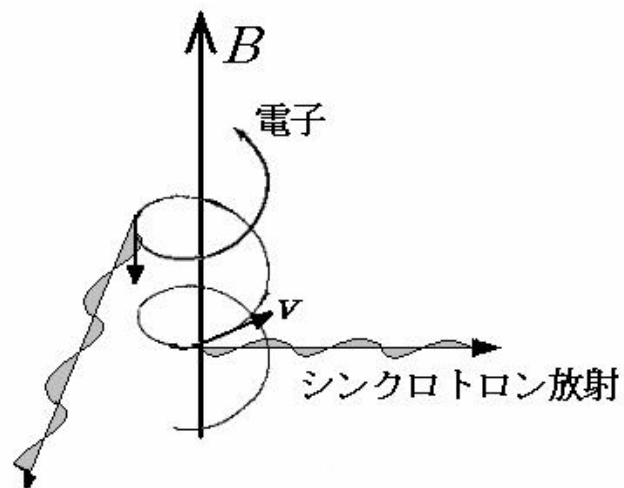
衝撃波面の前後では磁場の増幅があるかも。

その機構として最も有力なのは？

(乱流、プラズマ不安定性、宇宙線の反作用etc.)

放射過程

シンクロトロン放射



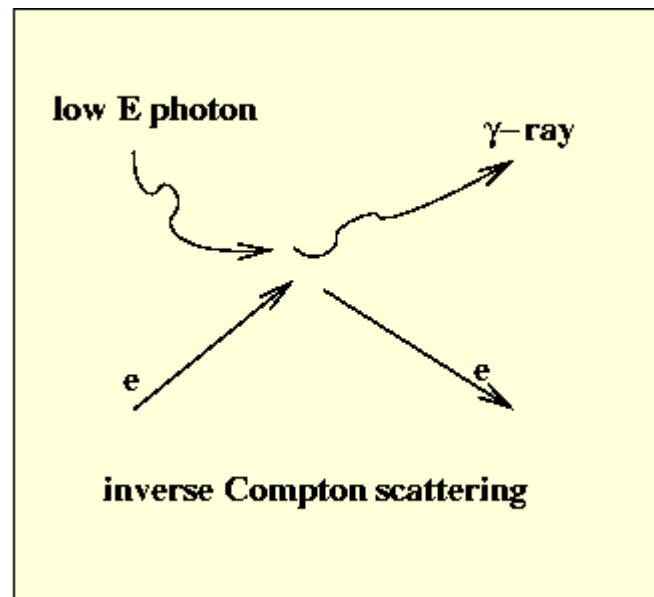
シンクロトロン放射。 v は電子の速度ベクトルを表す。シンクロトロン放射は、磁力線に垂直に直線偏波しており、磁場に垂直な速度成分 v_{\perp} 方向のごく狭い領域にのみ放射される。

電子のエネルギー $\varepsilon = \gamma m_e c^2$

典型的な光子のエネルギー $\varepsilon_{\text{typ}} = \frac{3\hbar\gamma^2 eB}{2mc}$

放射率 $\frac{d\varepsilon}{dt} = \frac{4}{3} c \sigma_T \gamma^2 U_B$

逆コンプトン散乱



典型的な光子のエネルギー $\varepsilon_{\text{typ}} = \gamma^2 \varepsilon_0$

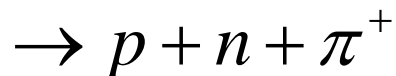
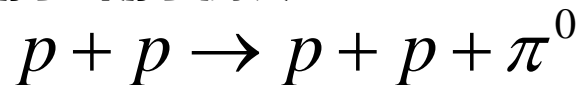
放射率 $\frac{d\varepsilon}{dt} = \frac{4}{3} c \sigma_T \gamma^2 U_{\text{ph}}$

種光子が自ら放ったシンクロトロン光子
⇒ シンクロトロン自己コンプトン
3K背景放射などの外部光子
⇒ 外部コンプトン

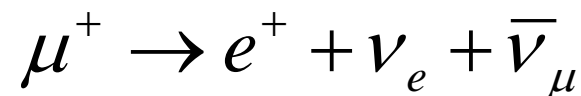
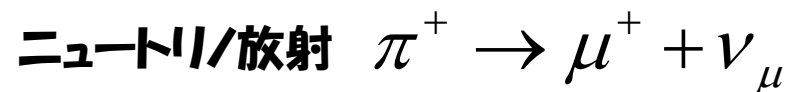
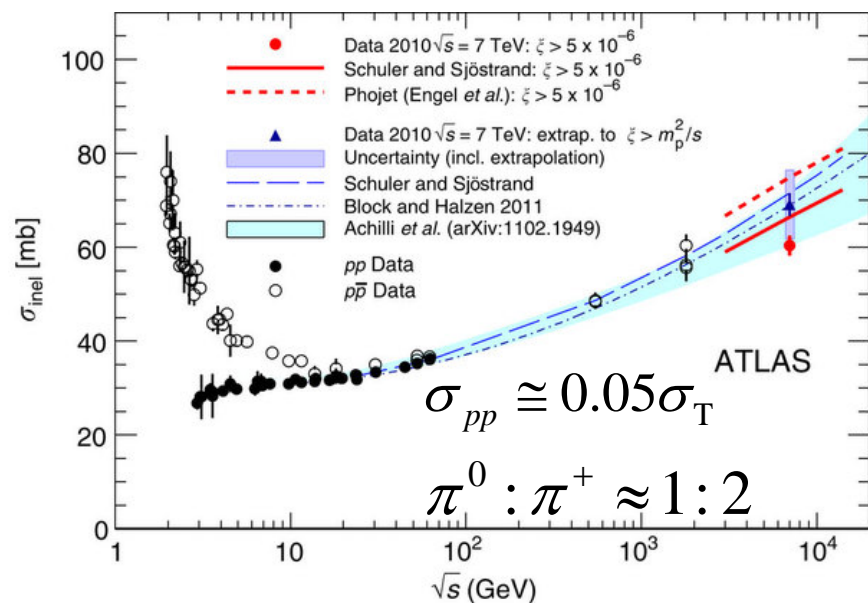
放射過程

陽子起源放射

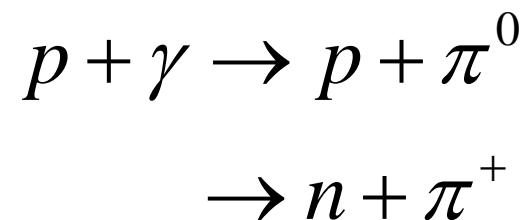
陽子-陽子衝突



($m_\pi = 135\text{MeV}$)



他にも

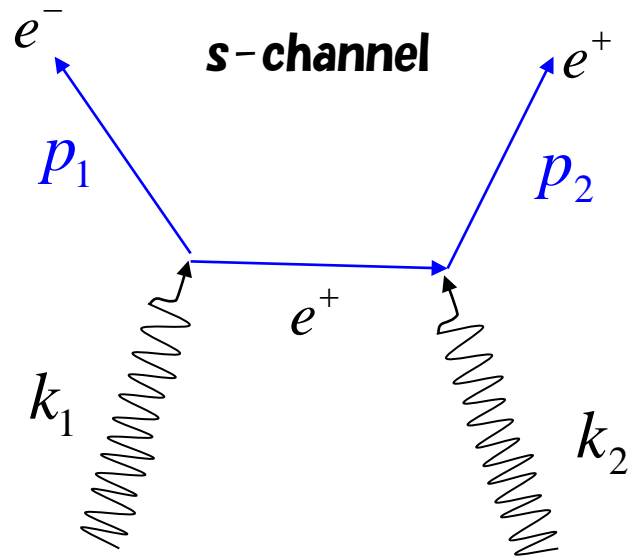


という反応もある。

最高エネルギー宇宙線は3K背景放射とこの反応を起こし、100Mpcほど宇宙空間を漂っているうちにエネルギーを失う。

電子・陽電子対生成

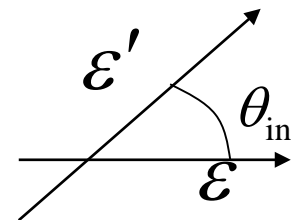
$$\gamma + \gamma \leftrightarrow e^- + e^+$$



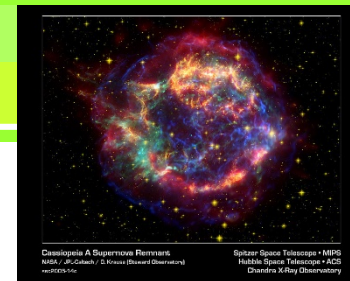
$$\sigma_{\gamma\gamma} = \frac{3\sigma_T}{16} (1 - y^2) \left[(3 - y^4) \ln \frac{1 + y}{1 - y} - 2y(2 - y^2) \right]$$

$$y^2 \equiv 1 - \frac{2m_e^2 c^4}{\varepsilon \varepsilon' (1 - \cos \theta_{\text{in}})} < 1$$

$\varepsilon \varepsilon' (1 - \cos \theta_{\text{in}}) > 2m_e^2 c^4$ の時だけ起こる反応。

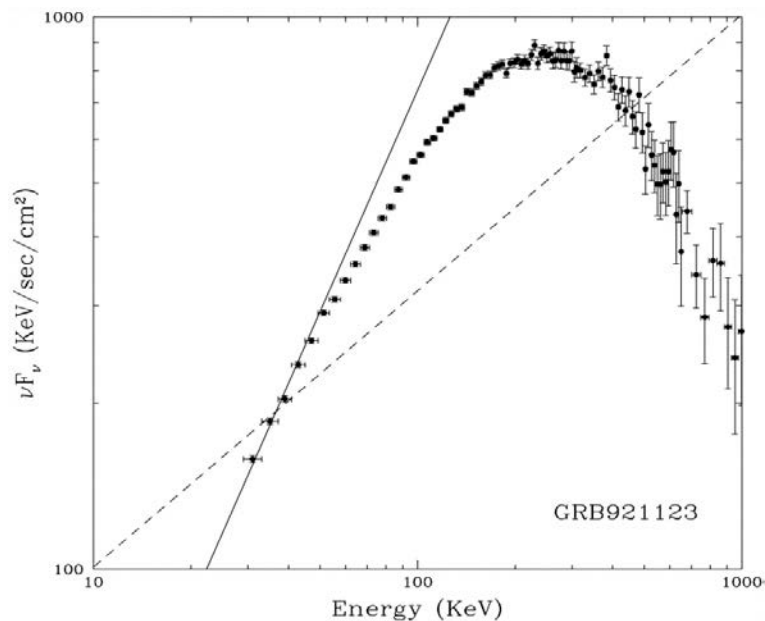


天体の放射スペクトル

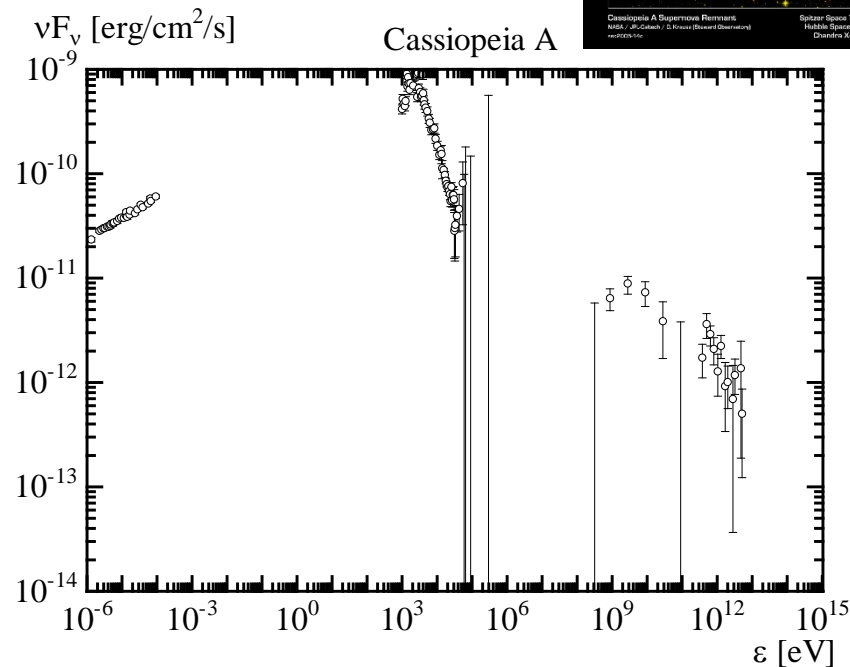


Cassiopeia A Supernova Remnant
NASA / JPL-Caltech / D. Krause (Baylor University)
Spitzer Space Telescope • MPG
Hubble Space Telescope • ACS
Chandra X-ray Observatory

ガンマ線バーストのスペクトル



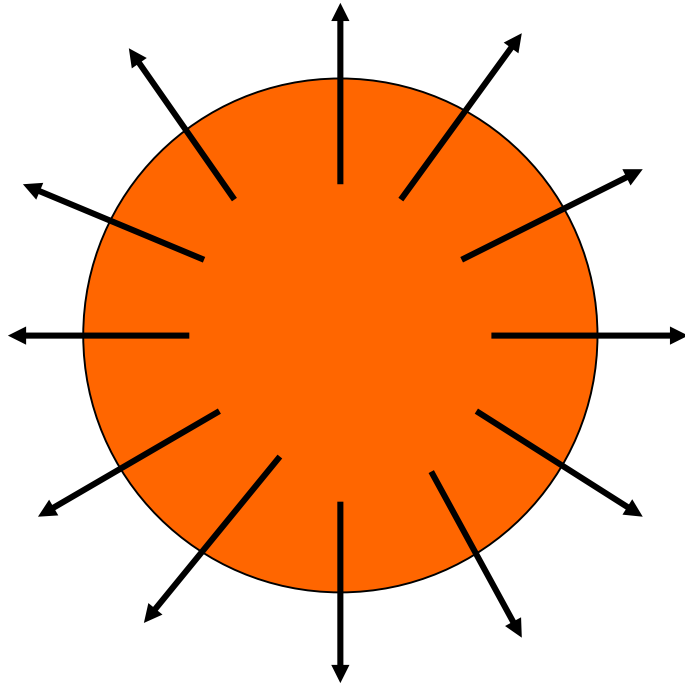
放射メカニズムは不明。
スペクトルのピークは何を反映しているのか？



超新星残骸からのガンマ線
電子起源か陽子起源か論争が続いている。

観測量に対する相対論的效果

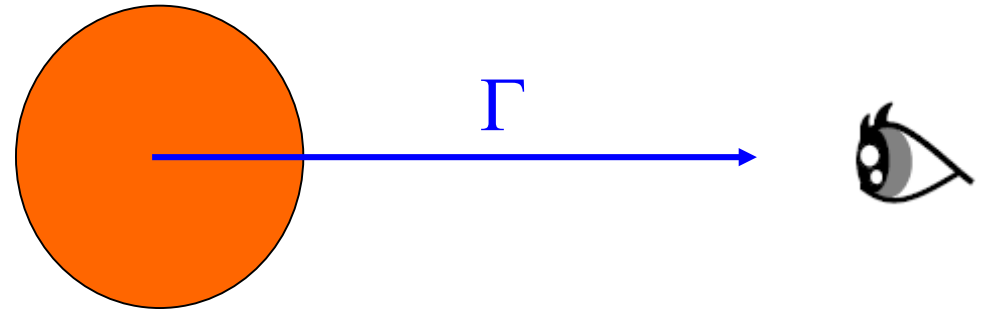
プラズマ静止系



$\Delta t'$ の時間、エネルギー E' の放射を放つ。

光度 $L' = \frac{E'}{\Delta t'}$

プラズマがローレンツ因子 Γ で運動している。



$$\Delta t = \Gamma \Delta t'$$

$$R \cong c \Delta t = c \Gamma \Delta t'$$

色々な方向に飛んでいる光子のエネルギー

$$\varepsilon = \Gamma \varepsilon' (1 + \beta \cos \theta')$$

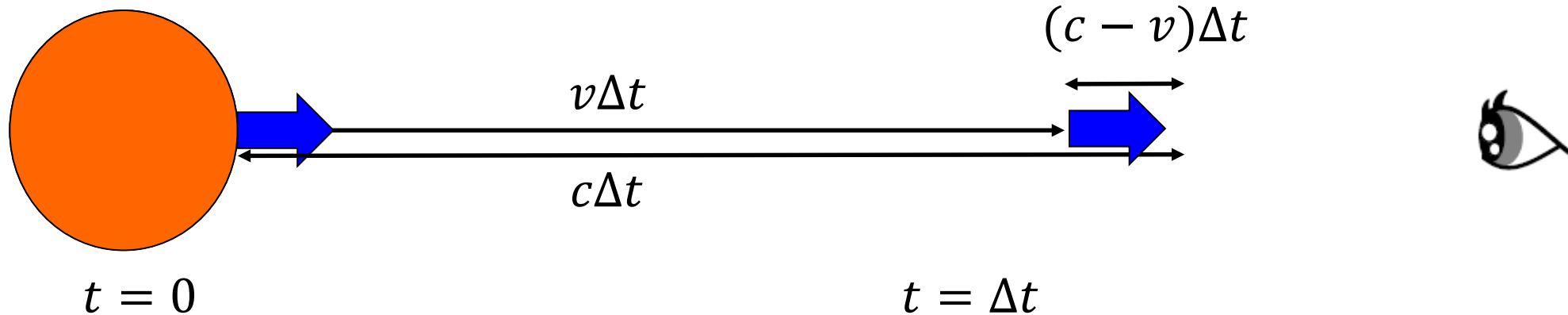
を平均すると、

$$E = \Gamma E'$$

観測者にとっては、

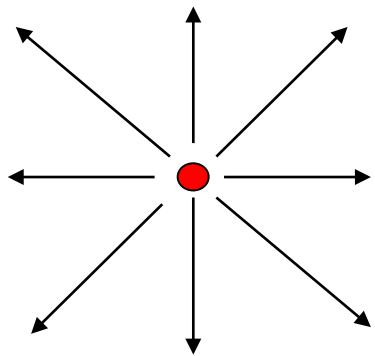
$$\Delta t_{\text{obs}} = \Delta t, \quad L_{\text{obs}} = \frac{E}{\Delta t} = \frac{E'}{\Delta t'} \quad ?$$

観測量に対する相対論的效果



$$\Delta t_{\text{obs}} = \frac{c - v}{c} \Delta t \simeq \frac{\Delta t}{2\Gamma^2} < \Delta t' = \frac{\Delta t}{\Gamma}$$

等方放射 立体角 4π



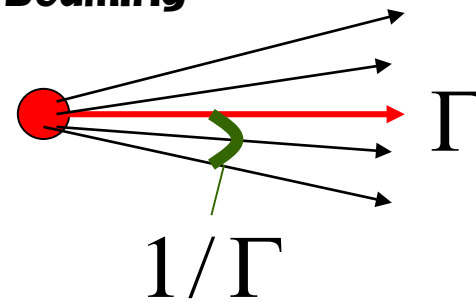
プラズマ静止系

角度のローレンツ変換

$$\mu = \frac{\mu' + \beta}{1 + \beta\mu'}$$

$(\mu = \cos \theta)$

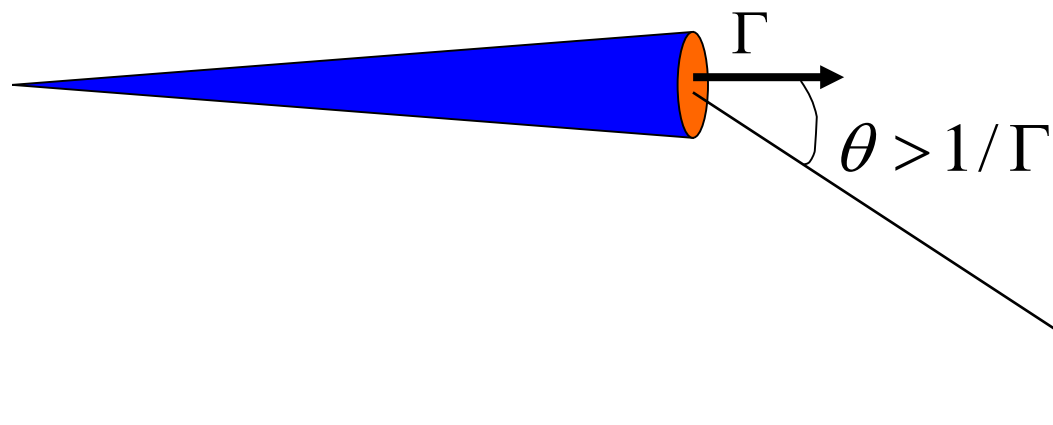
Beaming



立体角 $d\Omega \approx 1/\Gamma^2$

観測量に対する相対論的效果

$$L_{\text{obs}} = \frac{4\pi}{d\Omega} \frac{E}{\Delta t_{\text{obs}}} \cong \Gamma^4 L'$$



明るい
(DAZZLING)

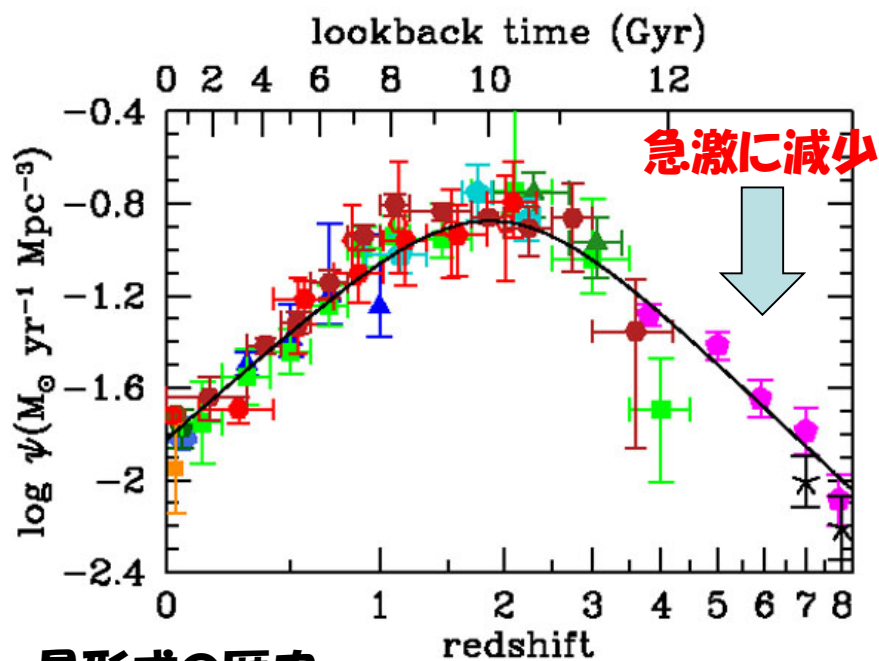


(DARK!)
暗い!



総合的な知の連携

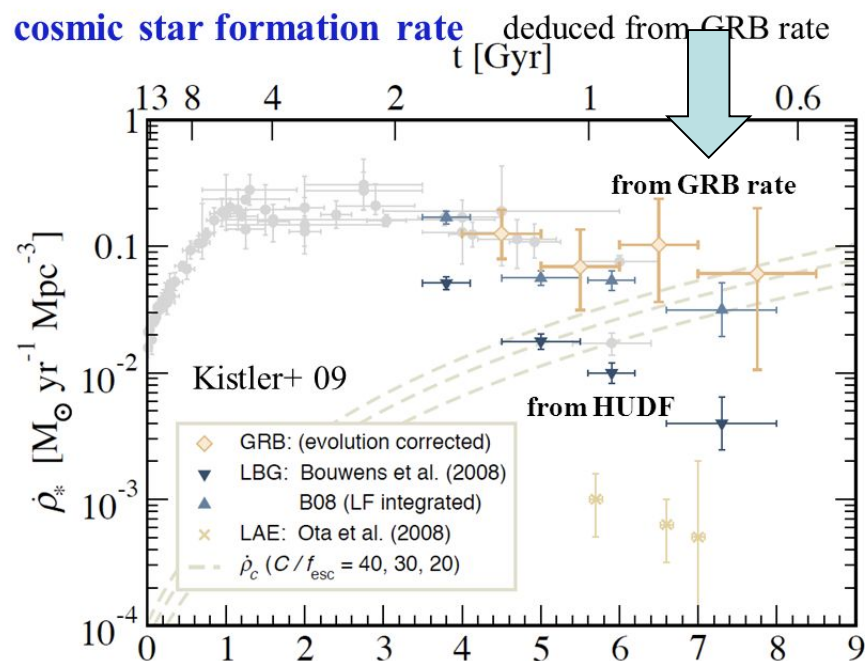
宇宙の星形成の歴史⇒重いブラックホール連星の親星は？
 そうした親星はいつ生まれたのか？



星形成の歴史

水:最先端研究II「観測的宇宙論」

大昔でも起きている

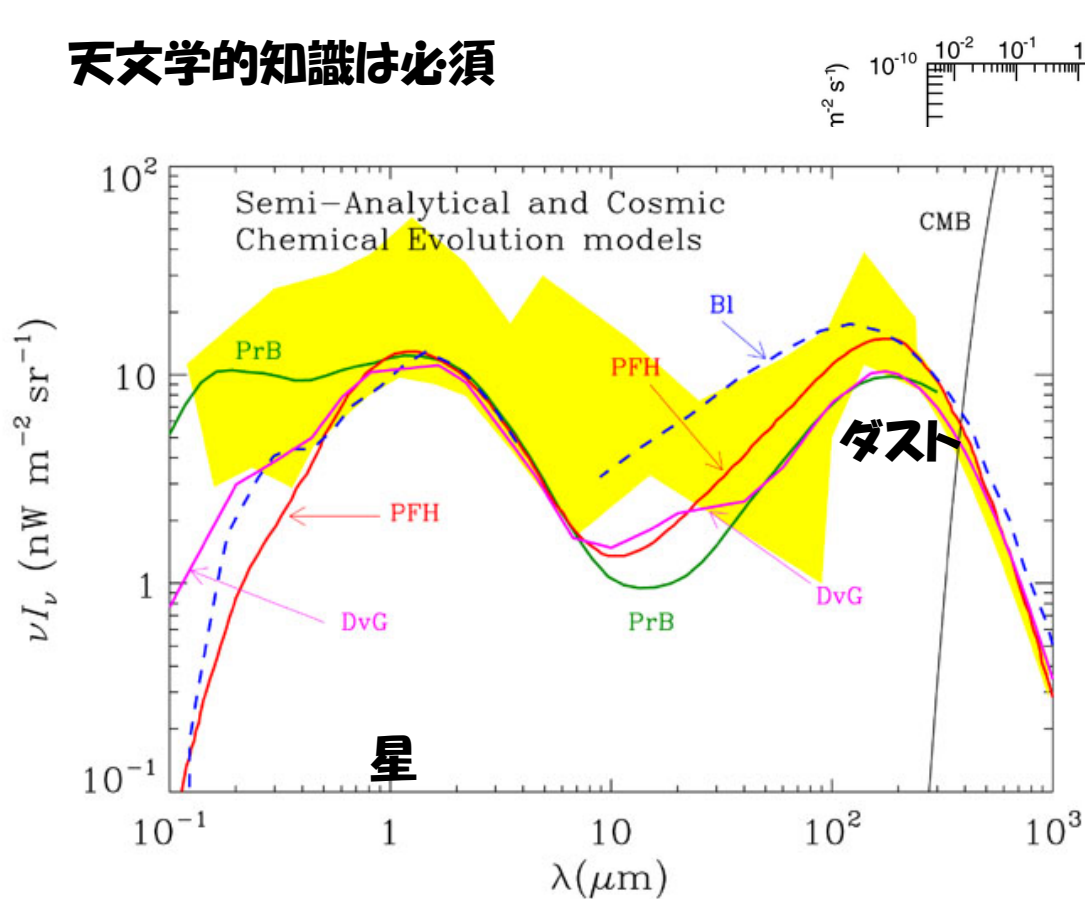


JANUS/GUNDAMでよりhigh- z へ
 直接観測と相補的

ガンマ線バーストの発生率
 (ブラックホール形成史・重力波源)

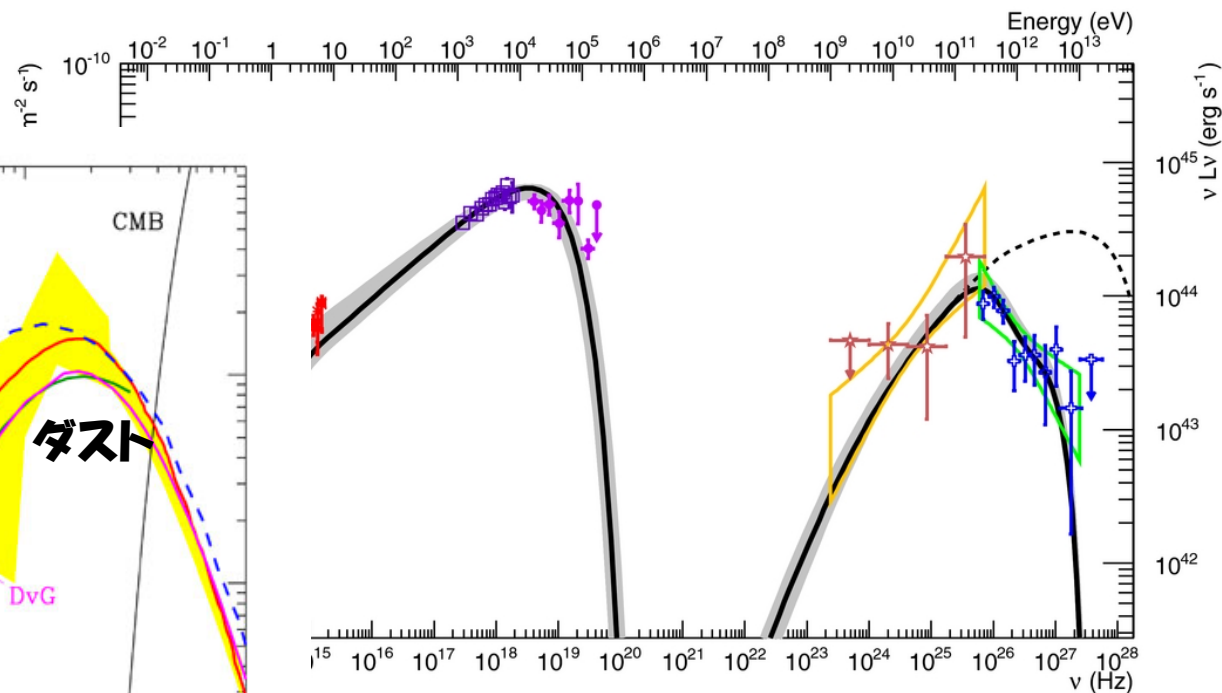
総合的な知の連携

天文学的知識は必須



宇宙背景放射

$$\gamma + \gamma \rightarrow e^+ + e^-$$



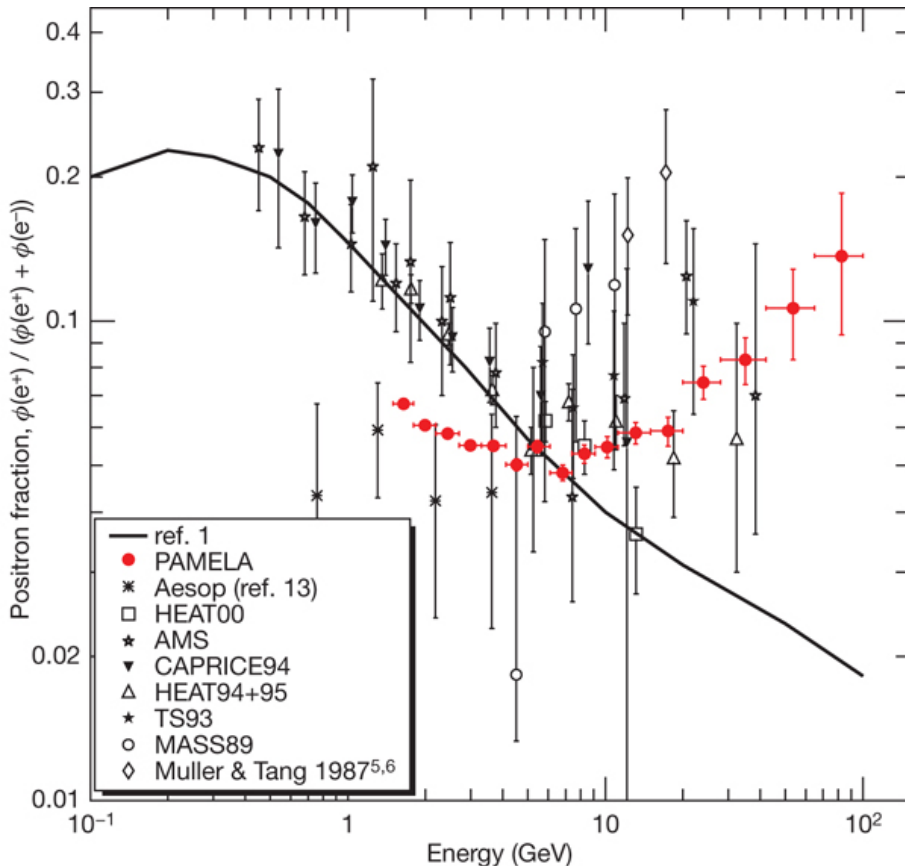
フレイザーのTeVガンマ線は吸収
されているはず。

フレイザーの放射機構と星形成史
両方を同時に議論する。

木:最先端研究IV「高エネルギー・ガンマ線天文学」
金:最先端研究VI「ガンマ線・宇宙線物理」

ここ10年くらいの観測的進展

2009



陽電子宇宙線が高エネルギーで過剰

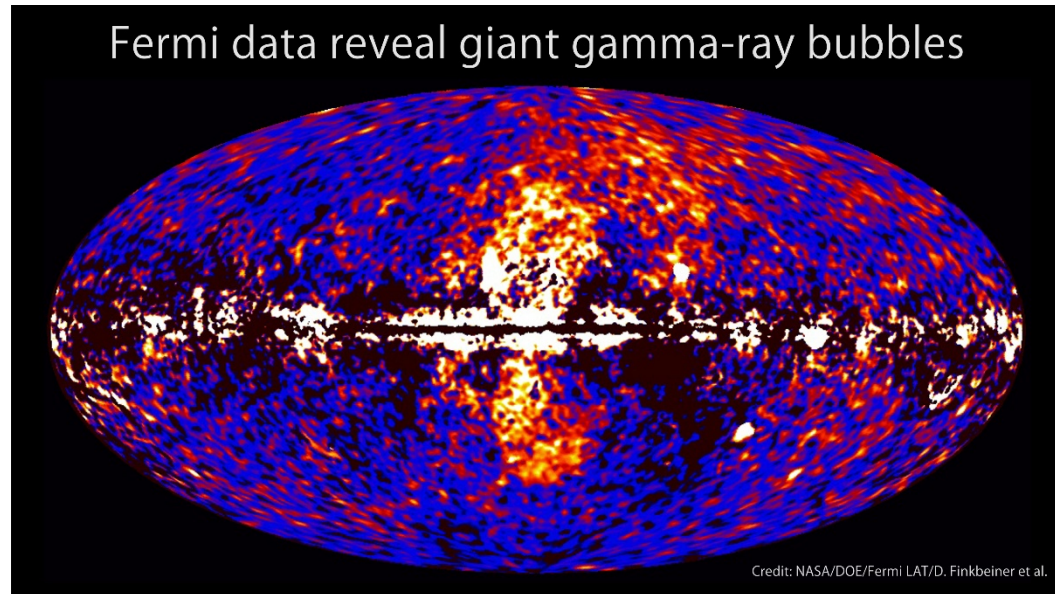
暗黒物質起源か？ $\chi + \chi \rightarrow e^- + e^+$

パルサー起源か？ $\chi \rightarrow e^- + e^+$

水:最先端研究II「暗黒物質」
 金:講義III「宇宙・素粒子」

2010

フェルミバブル

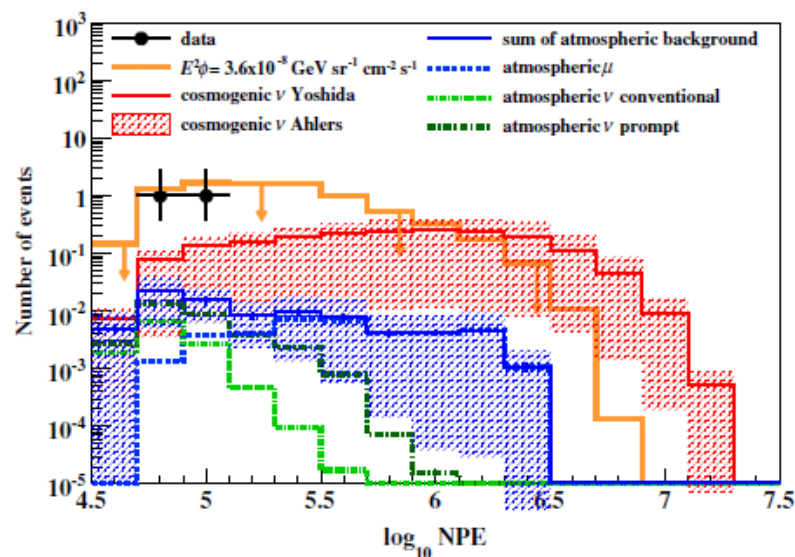
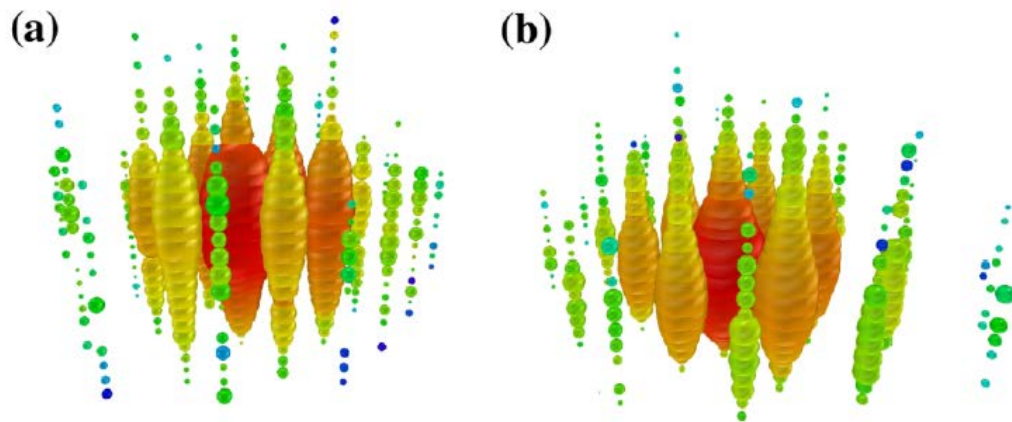
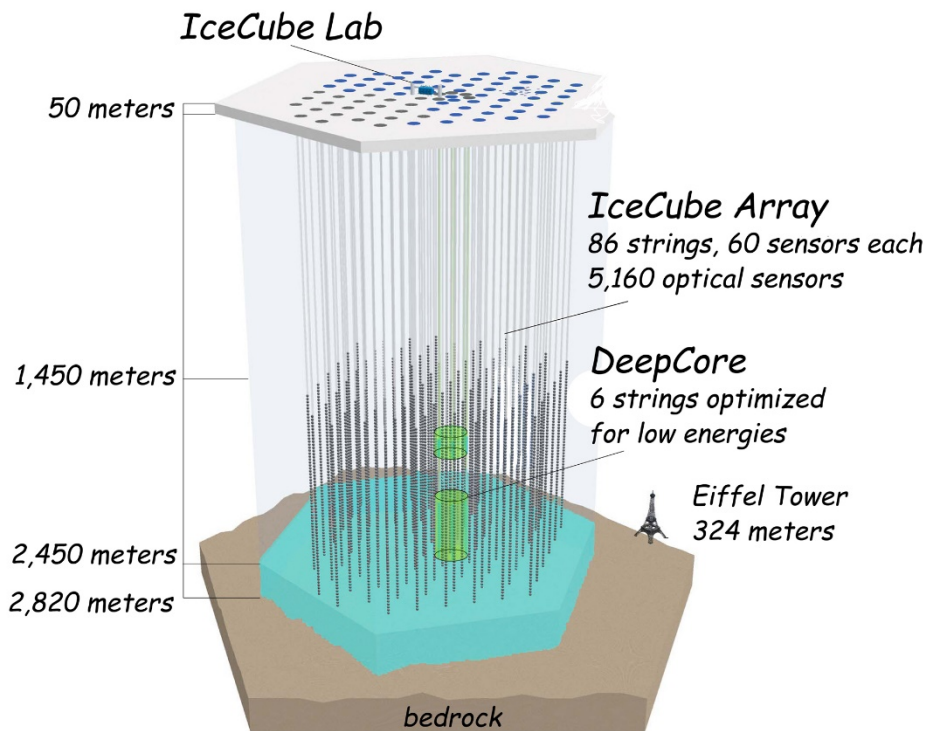


銀河中心上下方向にガンマ線で輝くバブル
 過去の銀河中心ブラックホールの活動の痕跡？
 過去の爆発的星形成の名残？

ここ10年くらいの観測的進展

2013

PeV = 10^{15} eVニュートリノの検出



恐らく銀河系外起源。源は不明。
理論家の予想を上回るFlux！

金：最先端研究VII「高エネルギー・ニュートリノ天文学」

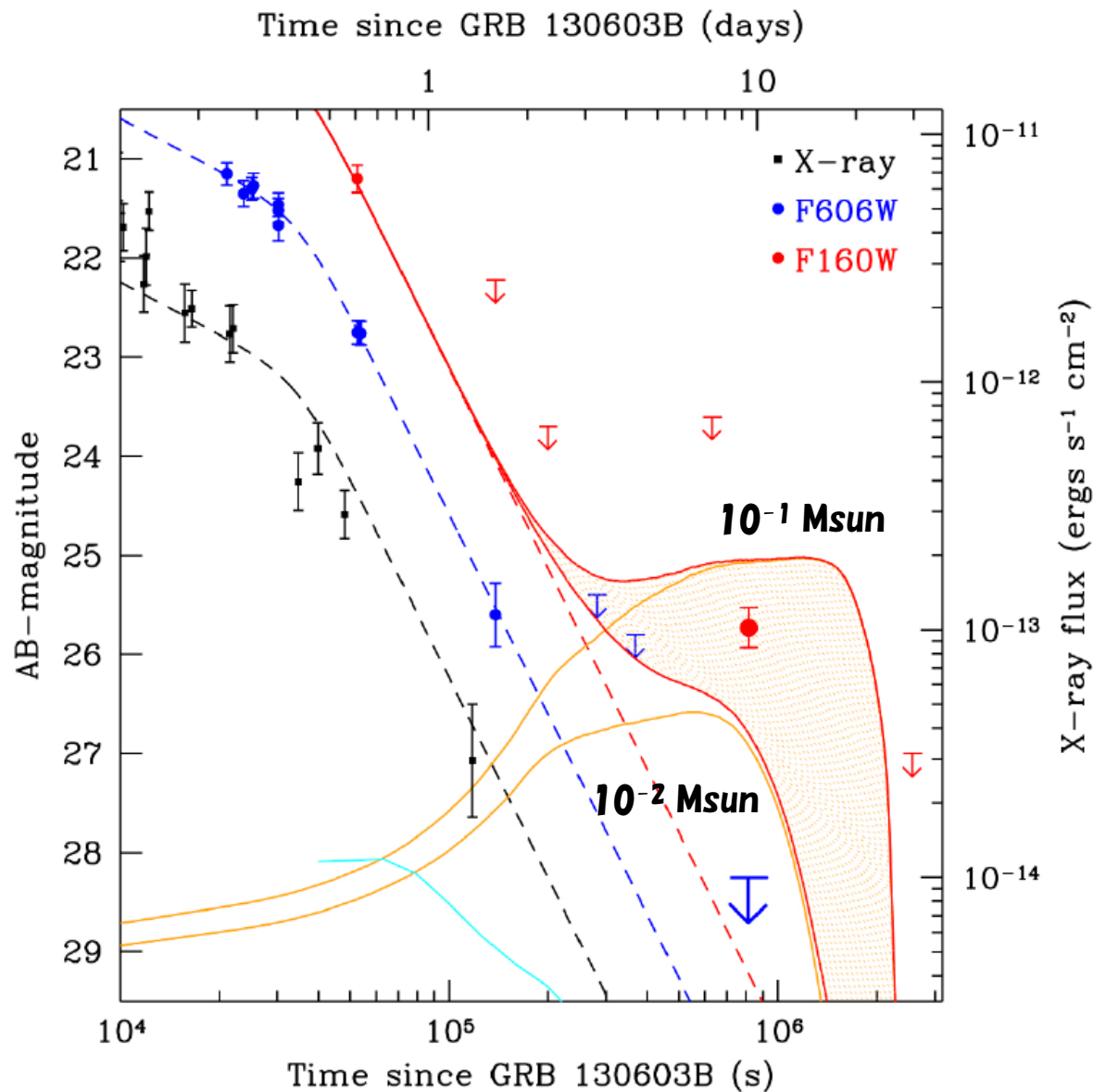
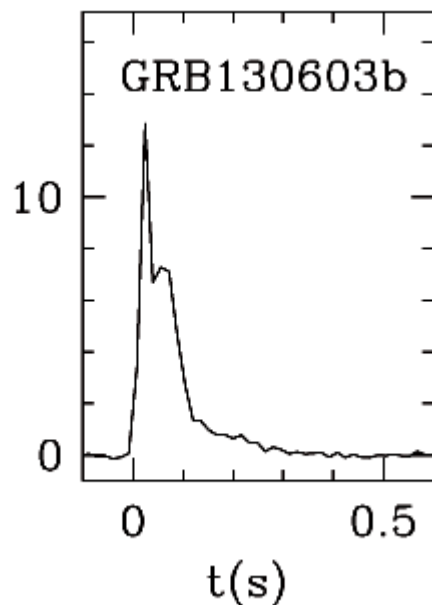
ここ10年くらいの観測的進展

赤外線だけで一瞬明るくなる。

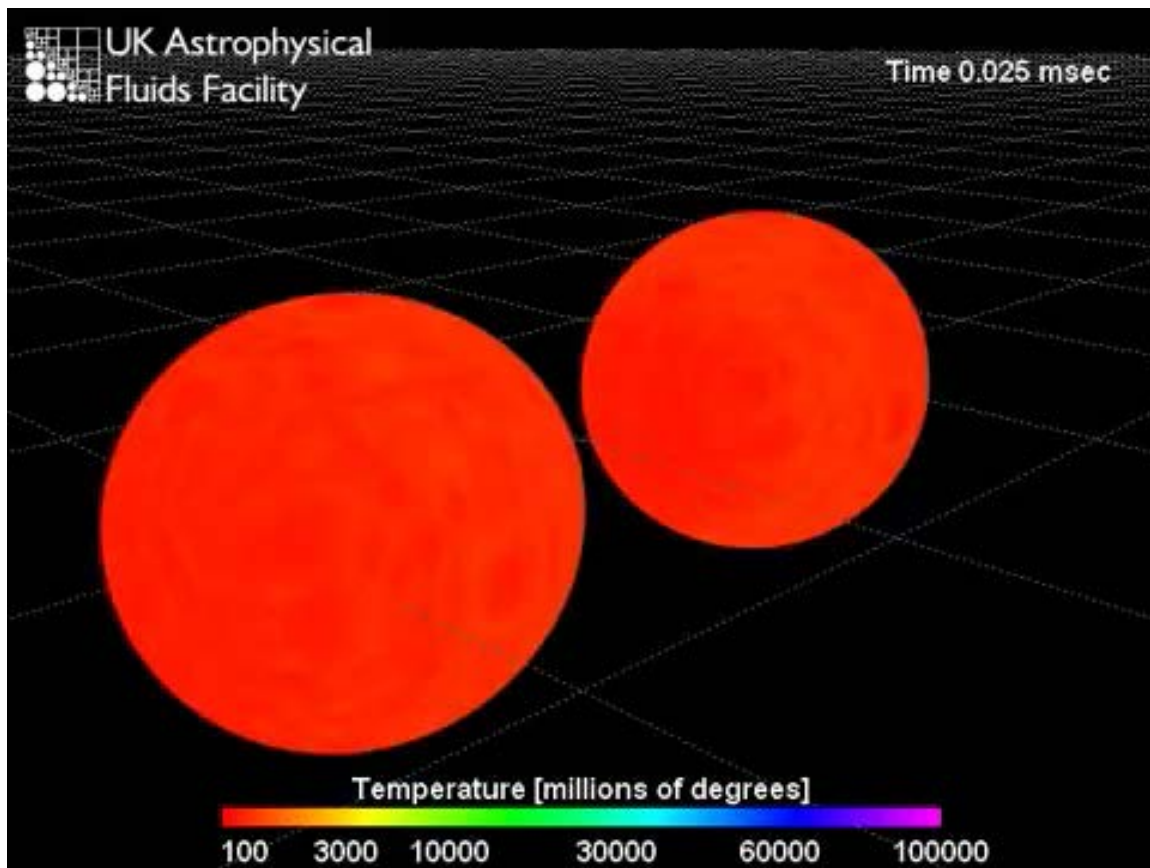
2013

Macronova/Kilonovaの発見？

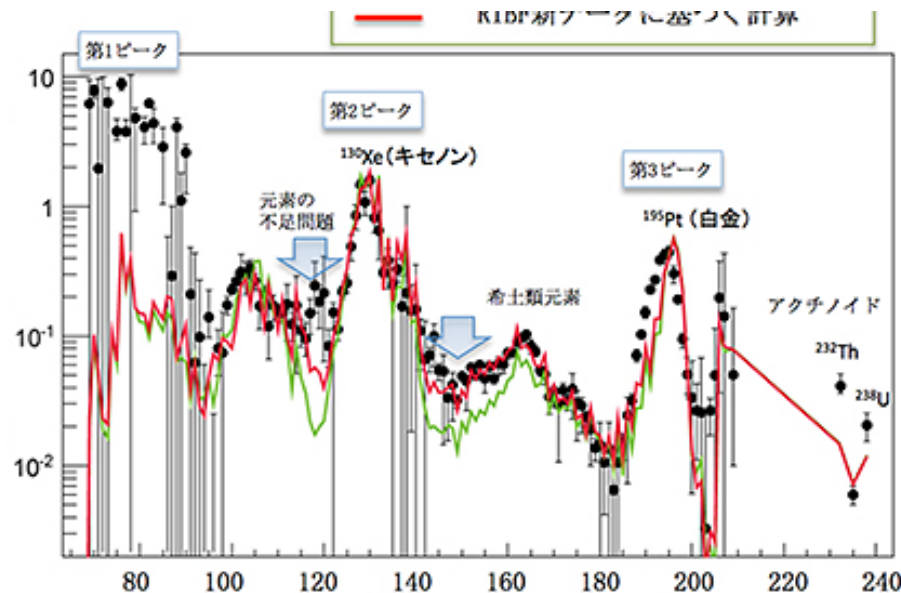
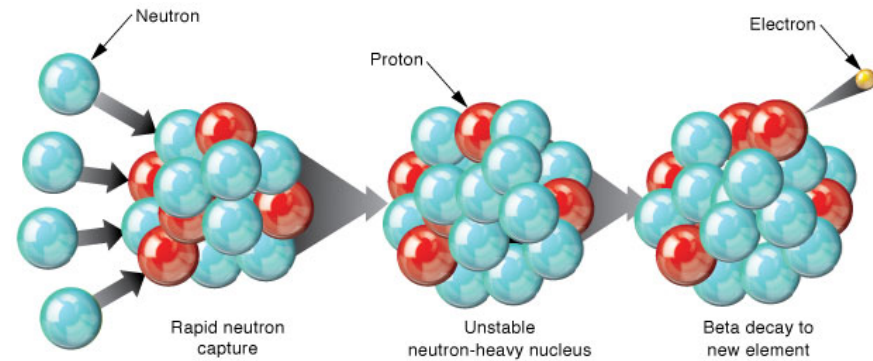
Short gamma-ray burst



Kilonova



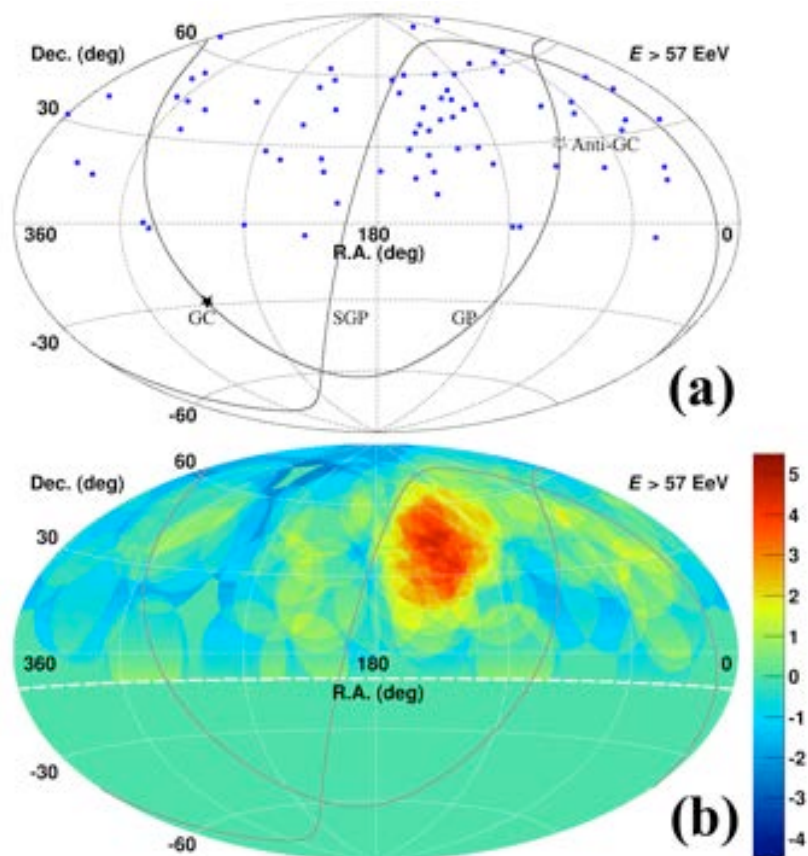
先ほどの赤外線放射は、連星中性子星合体に伴う、放出物からの放射かもしれない。



大量の不安定核：赤外放射の熱源

ここ10年くらいの観測的進展

2014 最高エネルギー宇宙線の異方性の発見

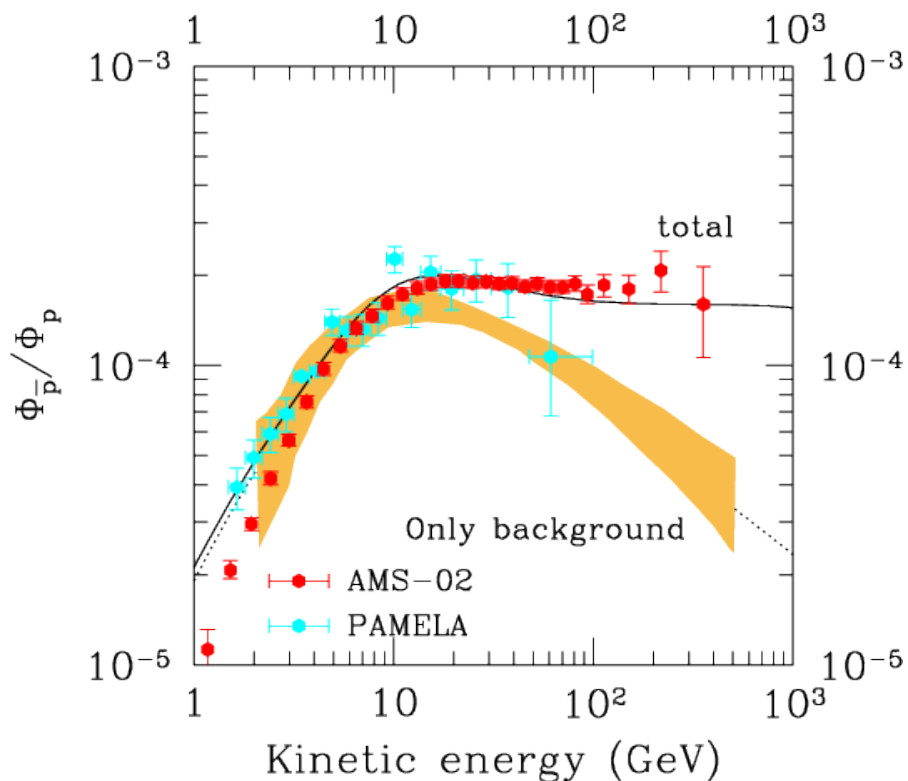


宇宙線研究所TAグループ

木:最先端研究V「最高エネルギー宇宙線」

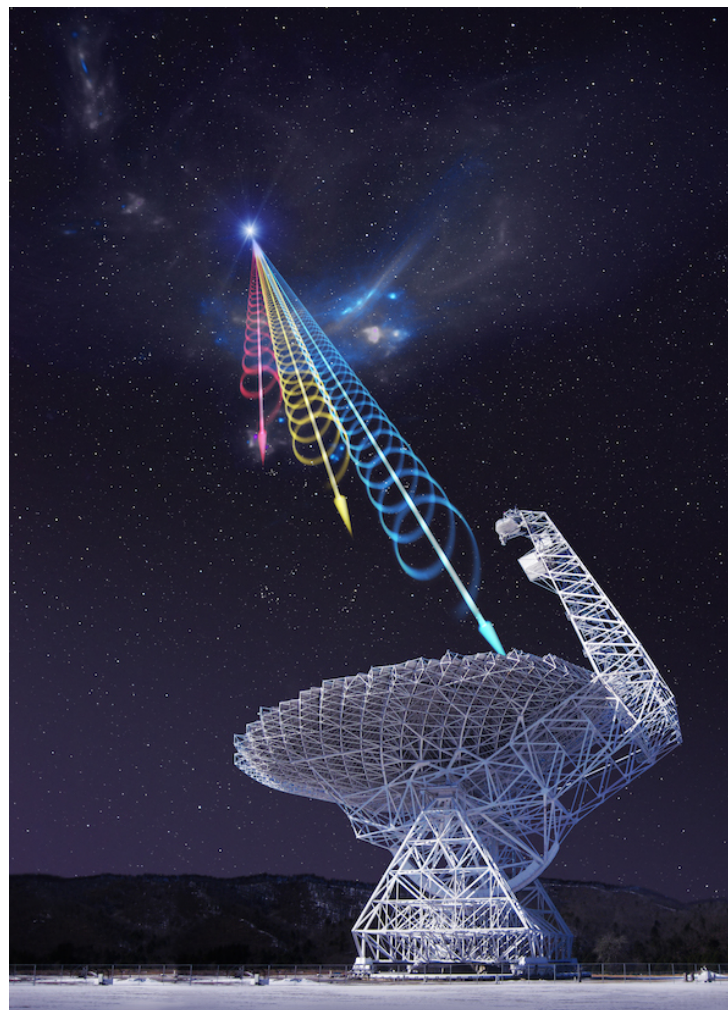
ここ10年くらいの観測的進展

2015 高エネルギーで反陽子宇宙線の過剰

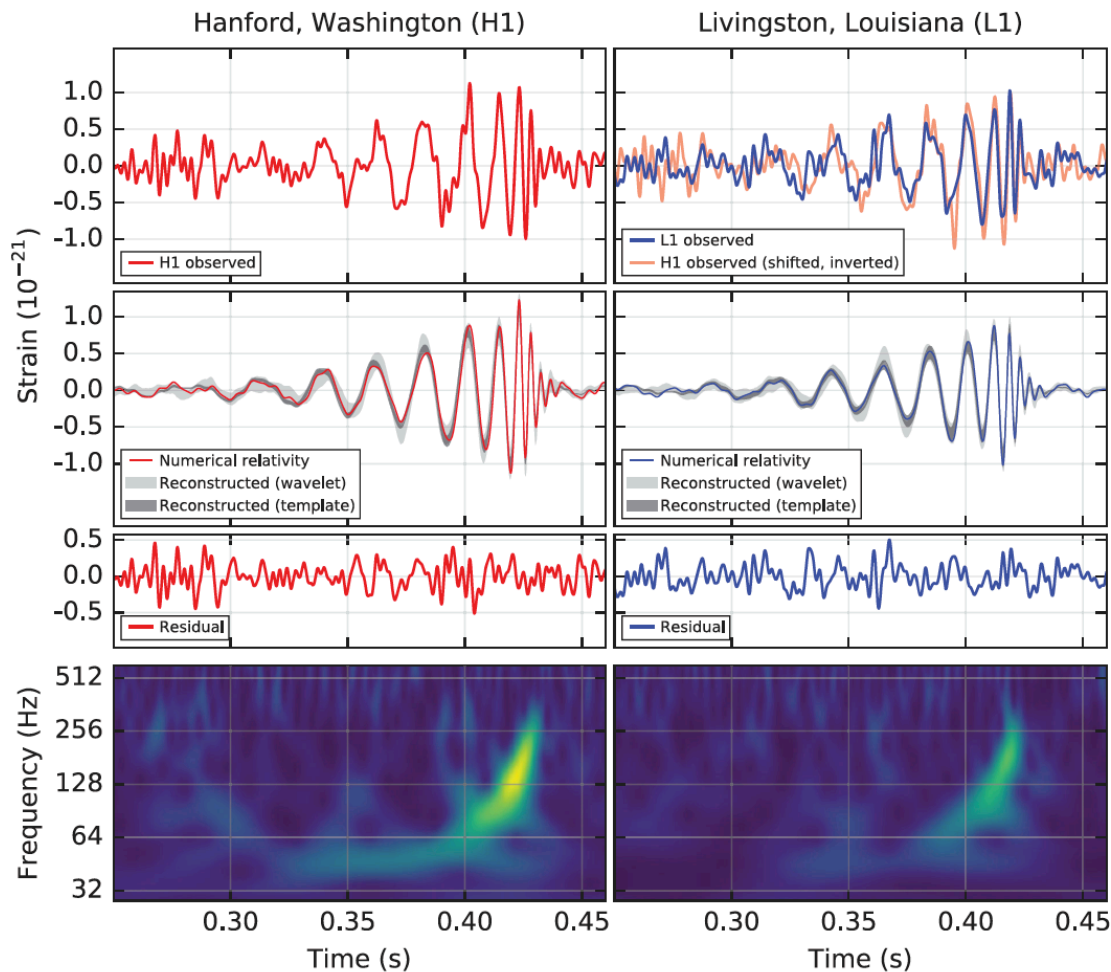


暗黒物質起源？

2016 謎の天体現象: Fast Radio Burst 繰り返しバーストしている⇒超強磁場パルサー？



ここ10年くらいの観測的進展



次のターゲットは中性子連星
ブラックホールと違って光るはず！

いずれにせよ、重力波が検出された後の、
電磁波による対応天体探索は必須。

2016
重力波の検出！
30Msun + 30MsunのBH+BH合体

火：最先端研究「重力波天文学」

いっぱい勉強しましょう！

Summary of elementary plasma waves

EM character	oscillating species	conditions	dispersion relation	name
electrostatic	electrons	$\vec{B}_0 = 0$ or $\vec{k} \parallel \vec{B}_0$	$\omega^2 = \omega_p^2 + 3k^2 v_{th}^2$	plasma oscillation (or Langmuir wave)
		$\vec{k} \perp \vec{B}_0$	$\omega^2 = \omega_p^2 + \omega_c^2 = \omega_h^2$	upper hybrid oscillation
	ions	$\vec{B}_0 = 0$ or $\vec{k} \parallel \vec{B}_0$	$\omega^2 = k^2 v_s^2 = k^2 \frac{\gamma_e K T_e + \gamma_i K T_i}{M}$	ion acoustic wave
		$\vec{k} \perp \vec{B}_0$ (nearly)	$\omega^2 = \Omega_c^2 + k^2 v_s^2$	electrostatic ion cyclotron wave
		$\vec{k} \perp \vec{B}_0$ (exactly)	$\omega^2 = [(\Omega_c \omega_c)^{-1} + \omega_i^{-2}]^{-1}$	lower hybrid oscillation
electromagnetic	electrons	$\vec{B}_0 = 0$	$\omega^2 = \omega_p^2 + k^2 c^2$	light wave
		$\vec{k} \perp \vec{B}_0, \vec{E}_1 \parallel \vec{B}_0$	$\frac{c^2 k^2}{\omega^2} = 1 - \frac{\omega_p^2}{\omega^2}$	O wave
		$\vec{k} \perp \vec{B}_0, \vec{E}_1 \perp \vec{B}_0$	$\frac{c^2 k^2}{\omega^2} = 1 - \frac{\omega_p^2}{\omega^2} \frac{\omega^2 - \omega_p^2}{\omega^2 - \omega_h^2}$	X wave
		$\vec{k} \parallel \vec{B}_0$ (right circ. pol.)	$\frac{c^2 k^2}{\omega^2} = 1 - \frac{\omega_p^2 / \omega^2}{1 - (\omega_c / \omega)}$	R wave (whistler mode)
		$\vec{k} \parallel \vec{B}_0$ (left circ. pol.)	$\frac{c^2 k^2}{\omega^2} = 1 - \frac{\omega_p^2 / \omega^2}{1 + (\omega_c / \omega)}$	L wave
	ions	$\vec{B}_0 = 0$		none
		$\vec{k} \parallel \vec{B}_0$	$\omega^2 = k^2 v_A^2$	Alfvén wave
$\vec{k} \perp \vec{B}_0$		$\frac{\omega^2}{k^2} = c^2 \frac{v_s^2 + v_A^2}{c^2 + v_A^2}$	magnetosonic wave	

List of plasma instabilities [\[edit \]](#)

- Bennett pinch instability (also called the z-pinch instability)
- Beam acoustic instability
- Bump-in-tail instability
- Buneman instability,^[2]
- Cherenkov instability,^[3]
- Chute instability
- Coalescence instability,^[4]
- Collapse instability
- Counter-streaming instability
- Cyclotron instabilities, including:
 - Alfvén cyclotron instability
 - Electron cyclotron instability
 - Electrostatic ion cyclotron Instability
 - Ion cyclotron instability
 - Magnetoacoustic cyclotron instability
 - Proton cyclotron instability
 - Nonresonant Beam-Type cyclotron instability
 - Relativistic ion cyclotron instability
 - Whistler cyclotron instability
- Diocotron instability,^[5] (similar to the Kelvin-Helmholtz fluid instability).
- Disruptive instability (in tokamaks)
- Double emission instability
- Drift wave instability
- Edge-localized modes^[6]
- Electrothermal instability
- Farley-Buneman instability,^[7]
- Fan instability
- Filamentation instability
- Firehose instability (also called Hose instability)
- Flute instability
- Free electron maser instability
- Gyrotron instability
- Helical instability (helix instability)
- Helical kink instability
- Hose instability (also called Firehose instability)
- Interchange instability
- Ion beam instability
- Kink instability
- Lower hybrid (drift) instability (in the Critical ionization velocity mechanism)
- Magnetic drift instability
- Magnetorotational instability (in accretion disks)
- Magnetothermal instability (Laser-plasmas)^[8]
- Modulation instability
- Non-abelian instability (see also Chromo-Weibel instability)
- Chromo-Weibel instability
- Non-linear coalescence instability
- Oscillating two stream instability, see two stream instability
- Pair instability
- Parker instability (magnetic buoyancy instability)
- Peratt instability (stacked toroids)
- Pinch instability
- Rotating instability,^[9]
- Sausage instability
- Slow Drift Instability
- Tearing mode instability
- Two-stream instability
- Weak beam instability
- Weibel instability

• プラズマ(古典電磁気学)

まとめ

- **高エネルギー天体物理は今最も熱い分野**
- **毎年のように新現象が発見され続けている**
- **多くの解かれるべき課題が残されている**
 - **ジェット加速**
 - **粒子加速**
 - **放射機構**
- **ニュートリノ・重力波などの多粒子・多波長観測の時代へ**